

САРНИЛЫН ПИКИЙГ АШИГЛАСАН ТУЛГУУР ПАРАМЕТРЫН АРГА

Н.Гансүх, П.Зузаан, Б.Далхсүрэн

ОРШИЛ

РФА-аар элементийн агуулгыг тодорхойлоход элемент хоорондын харилцаан нөлөөг тооцоолох үндсэн 2 арга байдаг.

1. Стандарт дээж хэрэглэх. Агуулгыг нь тодорхойлох гэж байгаа дээжтэй ойролцоо агуулгатай ижил төрлийн бүлэг стандарт дээж хэрэглэдэг. Практикт стандарт дээжийн найрлагатай ойрлцоо найрлагатай дээж тохиолдох нь тийм ч элбэг биш.

2. Тооцооны арга. Хэдхэн цэвэр элемент хэмжээд юмуу стандартигээр шууд тооцоолох тооцооны арга сүүлийн жилүүдэд онцгой анхаарал татаж байна [2-5]. Ийм аргуудын нэг нь тулгуур параметрийн арга юм. Тодорхойлогч рентген туяаны эрчимийг нарийн тооцоолох нь олон тооны физик параметр тухайлбал рентген туяаны шингээлтийн коэффициент, флуоресценцийн гаралт, шингээлтийн үсрэлтийн харьцаа гэх мэтийн ихээхэн өгөгдөлүүдийг ашигласан нусэр тооцооны ажил [6] бөгөөд энэ тооцооны ажлыг зайлшгүй хялбарчлах хэрэгтэй болдог.

Когерент ба когерент биш сарнилын эрчим нь дээжийн найрлагад мэдрэмтгий байдаг тул сарнисан цацрагийн эрчимийг ашиглавал тулгуур параметрийн аргын дээрх нусэр тооцооны ажлыг хялбарчлах боломжтой болно..

Бид энэ ажлаар Сарнисан пикийн эрчимийг ашигласан тулгуур параметрийн аргыг боловсруулж ЦСТ-ийн хэрэглээнд нэвтрүүлсэн тухай өгүүлнэ.

ОНОЛЫН ҮНДЭСЛЭЛ

Нэгэн төрлийн дээжээс гарах i-р элементийн флуоресценцийн эрчим нь :

$$I_i = GC_i \sum_{E_k} \left[D_i(E_k) K_i A_i I_{E_k} \Delta E \left(1 + S_i^o \right) \right] \quad (1)$$

Энд:

G геометр фактор.

C_i i-р элементийн агуулга ба нийт агуулга $\sum_{i=1}^{N_1+N_2} C_i = 1$ байна.

N_1 тодорхойлогдолгүй үлдэж байгаа элементийн тоо (хөнгөн элементүүд)

N_2 тодорхойлж байгаа элементийн тоо.

$D_i(E_k)$ i-р элементийг өдөөх энергийн үед $D_i(E_k)=1$, бусад үед $D_i(E_k)=0$

$I_{E_k} \Delta E_k$ энергийн ΔE_k засвар дахь анхдагч цацрагийн нийт эрчим.

K_i бүртгэх чадвар.

A_i i элементийн тодорхойлогч рентген шугамын шингээлтийн засвар.

S_i^o i-элементийн хоёрдогч өдөөгдлийн нийт эрчим.

Хоёрдогч өдөөгдөл S_i^o -г дээж дэх аль нэг элементийн агуулга хэт их биш тохиолдолд тооцохгүй орхиж болдог. Цацраг идэвхтүүсгүүр эсвэл хоёрдогч бай хэрэглэх үед өдөөх нил цацрагийг монокроматик цацрагаар сольж болно. Энэ хоёр өөрчлөлтийг тусган (1) томъёог өөрчилбөл:

$$I_i = GC_i I_o k_i A_i \quad (2) \text{ болно.}$$

Энд:

$$k_i = \tau_i^o \left(1 - \frac{1}{j_i} \right) \omega_i f_i \epsilon_i^d A_i^{air} \quad (3)$$

i -р элемент өдөөж байгаа цацрагыг шингээх шингээлт шингээлтийн үсрэлтийн харьцаа.

i -р элементийн нийт флуоресценцийн эрчимд K шугамын эзлэх хувь.

i -р элементийн флуоресценцийн гаралт дэтекторын бүртгэх чадвар.

i -р элементийн тодорхойлогч рентген шугам агаарт шингээгдэх засвар

(2), (3) томъёоноос системийн бүртгэх чадварыг дараах байдлаар тодорхойлж болно.

$$E_{f_i} = GI_o k_i \quad (4)$$

(2), (4) томъёоноос шугамын эрчим нь:

$$I_i = GE_{f_i} C_i A_i \quad (5) \text{ болно.}$$

(5), томъёог системийн бүртгэх чадвар E_{f_i} -т тодорхойлоход хэрэглэнэ [1].

Системийн бүртгэх чадварыг тодорхойлохдоо дээжийн вайрлага нь сайн мэдэгдэж байгаа цэвэр элемент, исэлүүдийг хэмжиж тэдгээрийн масс шингээлтийн коэффициент A_i -т [7] тооцоолно. Системийн бүртгэх чадварыг тодорхойлох үед стандарт дээж хэмжин, түүнийг туршлагын нехцэлийн өөрчлөлтийг тооцоход ашиглах ба энэ засвар нь:

$$G_r = \frac{I_w(st)}{I_o(st)} \quad (6) \text{ байна.}$$

$I_o(st)$ стандарт геометр нехцлийн үеийн эрчим.

$I_w(st)$ хэмжилтийн үеийн эрчим.

(5), (6) томъёоноос i -р элементийн агуулга нь:

$$C_i = \frac{I_i}{G_i E_{f_i} A_i} \quad (7) \text{ болно.}$$

ТООЦООНЫ ХЭСЭГ

Масс шингээлтийн коэффициентийг тооцоход тодорхойж байгаа элементийн агуулгаас гадна РФА-аар тодорхойлогдохгүй устэрөгч, нүүрстөрөгч, хүчилтөрөгч мэтийн хөнгөн элементүүдийг найрлагыг ч мэдэх шаардлагатай болдог. Хэмжиж буй дээжин дэх хөнгөн элементийн нэлэөг сарнилын пикуудийн эрчим дээжийг найрлагад мэдрэмтгий [8] байдгийг ашиглан тооцож болно.

Дээжийн дундаж атомын дугаар нь сарнилын пикуудийг харьцаатай дараах хамааралтай байна (1-р зураг).

$$\bar{Z} = f\left(\frac{I_c}{I_R}\right) \quad (8)$$

Энд:

I_c когерент сарнилын пикийн эрчим.

I_R когерент биш сарнилын пикийн эрчим.

Мөн когерент сарнилын пикийн эрчим нь дээжийн нийт масс шингээлтийн коэффициенттай дараах хамааралтай байдаг (2-р зураг).

$$I_c = f\left(\frac{1}{\mu'_T(E)}\right) \quad (9)$$

(8), (9) функцийг найрлага нь сайн мэдэгдэж байгаа дээжүү хэмжиж тодорхойлно.

Хэрвээ дээж дэх бүх элементийн агуулга мэдэгдэж байва дээжийн нийт масс шингээлтийн коэффициент нь:

$$\mu'_T = \sum_{i=1}^N C_i \left[\frac{\mu'(E_i)}{\cos \psi_2} + \frac{\mu(E_o)}{\cos \psi_1} \right] \quad (10) \text{ хэлбэртэй байдаг.}$$

Энд:

E Комптоны пикийн эрчим.

μ_T Дээжийн нийт масс шингээлтийн коэффициент.

$\mu(E)$ Е энэргитэй рентген туяаг i -р элемент шингээх масс шингээлтийн коэффициент.

v_1 анхдагч цацраг дээж дээр тусах өнцөг

v_2 флуоресценцийн цацраг дээжээс гарах өнцөг.

Шингээлтийн засвар A_i -нь

$$A_i = \frac{1 - \exp(-\mu'_T d)}{\mu \mu'_T} \quad (11) \text{ хэлбэртэй байна.}$$

Энд

d дээжийн гадаргуугын нягт

Когерент сарнилын масс шингээлтийн коэффициент нь

$$\mu(E_c) = \sum_{i=1}^N C_i \mu_i(E_c) \quad (12) \text{ байх ба}$$

энэ нь 2-р зурагт үзүүлсэн хамаарлаас олсон масс шингээлтийн коэффициенттэй тэнцүү байх ёстой. Эдгээрийн харьцааг тооцооны шалгуур үзүүлэлт болгон сонгож авсан.

$$R = \frac{\mu_j(E_c)}{\mu(E_c)} \quad (13)$$

$R > 1$ бол дээжийн дундаж атомын дугаар тухайн дехэлтийн үед тооцоолж гаргасан дундаж атомын дугаараас бага байна гэсэн үт. Иймд анализ хийж байгаа хүнд элементийн агуулгыг (13) харьцаагаар үржүүлж өгнө.

$$C_H = C_H R \quad (14)$$

Нийт агуулга нь тогтмол учир хүнд элементийнх нь агуулгыг ихэсгэхэд бусад бүх хөнгөн элементийн агуулга багасаж, дундаж атомын дугаар ихэснэ.

$R < 1$ үед дээрхийн адил хүнд элементийн агуулы багасгахад бусад бүх хөнгөн элементийн агуулга ихэсэж, дундаж атомын дугаар багасна.

Тооцоог дараалан дөхөх аргаар гүйцэтгэсэн бөгөөд дөхөлтийн шалгуурыг $|1-R| < 0.001$ байхаар сонгож авсан. Энэ шалгуур нөхцөл 5-20 дөхөлтийн дараа биелэж байгаа нь тогтоогдсон.

ТУРШЛАГЫН ХЭСЭГ

Туршилтанд МУИС-ын ЦФСТ-ийн 25 мкм зузаантай Ве цонх бухий 10 мм-ийн диаметртай Si(Li) детектор, 30 мкюри идэвхжилтэй Am-241 үүсгүүртэй рентгэн флуоресценций спектрометрийг ашигласан. Хэмжилтийн хугацаа 500 секунд байсан. Характеристик шугамын пикийн талбайг олохдоо фоний хэлбэрийг олон гишүүнтээр сонгон AXIL программаар бодсон.

Цэвэр элементийн болон агуулга нь мэдэгдэж байгаа химийн нэгдлүүдийг (исэл) хэмжиж системийн бүртгэх чадвар, дундаж атомын дугаар, дээжийн масс шингээлтийн коэффициентыг тодорхойлж, SOIL-5, СП-1, СГ-2, СИ-1 стандартыг ашиглан боловсруулсан арга практикт хэр зэрэг тохирч байгааг шалгасан дүнг 1-р хүснэгтэд харуулав.

Системийн бүртгэх чадварыг тодорхойлохдоо цэвэр элемент Mg, Mo ба PbO, In₂O₃, RbCl, BaO, Tl₂O₃, Fe₂O₃, Cr₂O₃, Nb₂O₅, TiO₂, Sm₂O₃, SrO, ZrO₂, Ga₂O₃, SnO₂, KMnO₄, Co₂O₃ PbO₂-исэлүүдийг хэмжиж, эдгээр дээжүүдийн хувьд системийн бүртгэх чадварыг (4)-томъёог ашиглан тооцно. Системийн бүртгэх чадварын муuriйг 3-р зурагт үзүүлэв.

Стандарт дээжийн агуулгыг тодорхойлсон дүнг
паспортын утгатай жишсэн дүн

1-р хүснэгт

дээж	элемент	Агуулга %		Харьцангуй алдаа %
		Хэмжсэн	паспорт	
СВТ-16А	Nb	5.81	5.79	-0.31
СВТ-16А	La	7.95	7.14	-11.37
СВТ-16А	Ce	13.29	13.12	-1.33
СВТ-16А	Pr	1.28	1.36	5.53
СВТ-16А	Nd	3.27	3.48	5.91
СГ-2	Sr	0.035	0.037	4.86
СГ-2	Zr	0.017	0.016	-6.74
SOIL-5	Fe	4.27	4.45	3.98
SOIL-5	Sr	0.031	0.033	6.67
SOIL-5	Zr	0.0247	0.0221	-11.86
SOIL-5	Ba	0.528	0.562	6.05
SOIL-5	Ce	0.0541	0.0597	9.34
СП-1	Sr	0.014	0.013	-10.90
СП-1	Zr	0.044	0.045	0.98
СП-1	Ba	0.47	0.43	-10.04
СП-2	Fe	2.051	2.039	-0.57
СП-2	Zr	0.050	0.054	6.88
СП-2	Ba	0.56	0.53	-5.45

ДҮГНЭЛТ

1. Энэ аргыг SOIL-5, СВТ-16А, СП-1, СП-2, СГ-2, СИ-1 стандартыг ашиглан шалгахад тодорхойлсон утга, тухайн стандарт дээжийн паспортын утгатай 1-12%-ийн алдаатайгаар тохирч байгаа нь үйлдвэрлэлийн анализад хэрэглэж болохыг харуулж байна (1-р хүснэгт).

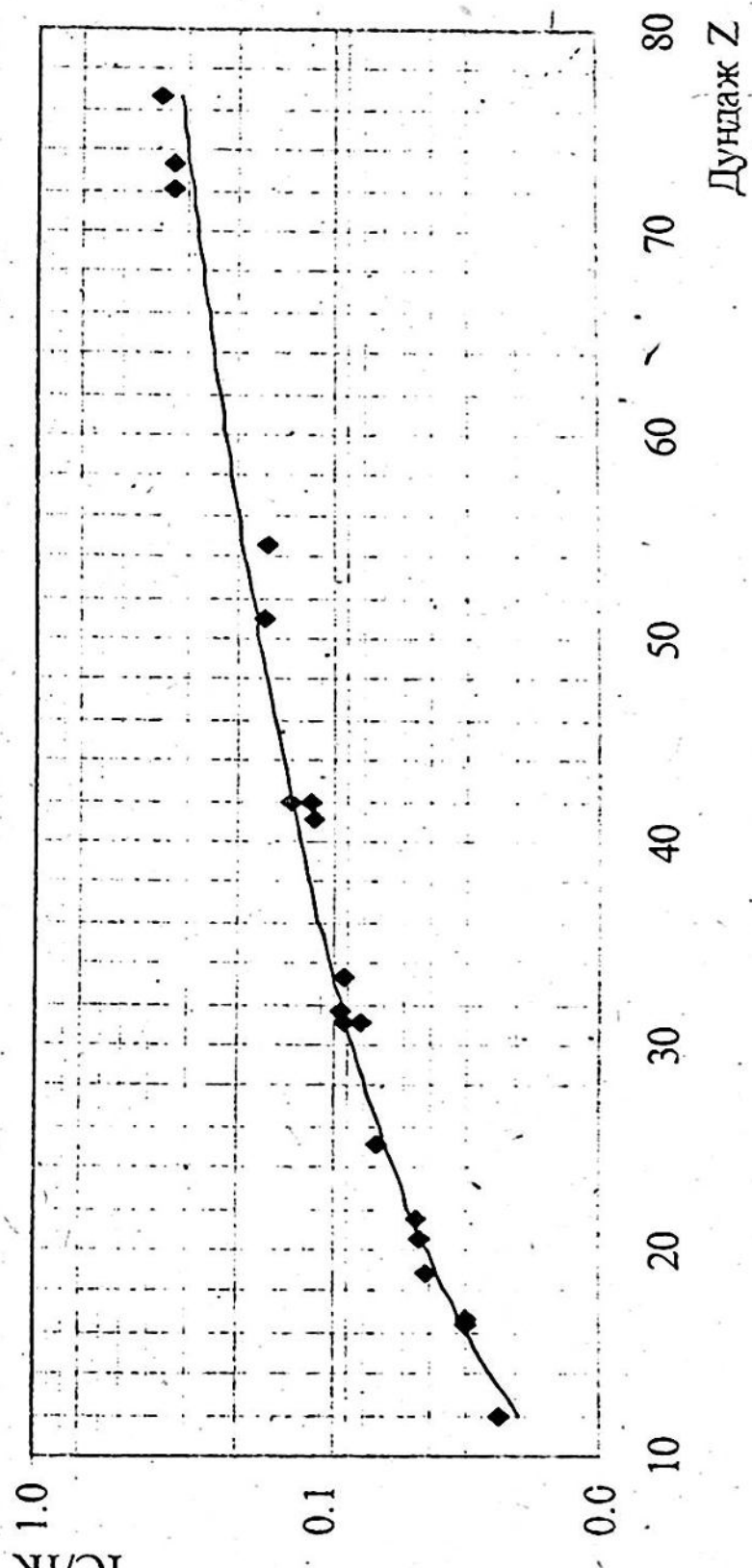
ABSTRACT

Instead of using the complete set of fundamental parameters for solving matrix effects in quantitative energy dispersive x-ray fluorescence analysis, some of them, such as excitation and detection efficiency and dependence of Compton and Reylaeigh scattered intensities on sample composition, were determined from a set of standards such as chemical compounds and pure elements. In this way all fundamental parameters except mass absorbtion coefficients were removed from the calculation procedure, which results in a much simpler formalism. The computer program based on this principle and described in this paper is relatively simple and, can run even on small computers, while the overall error can be kept in the range of few percent.

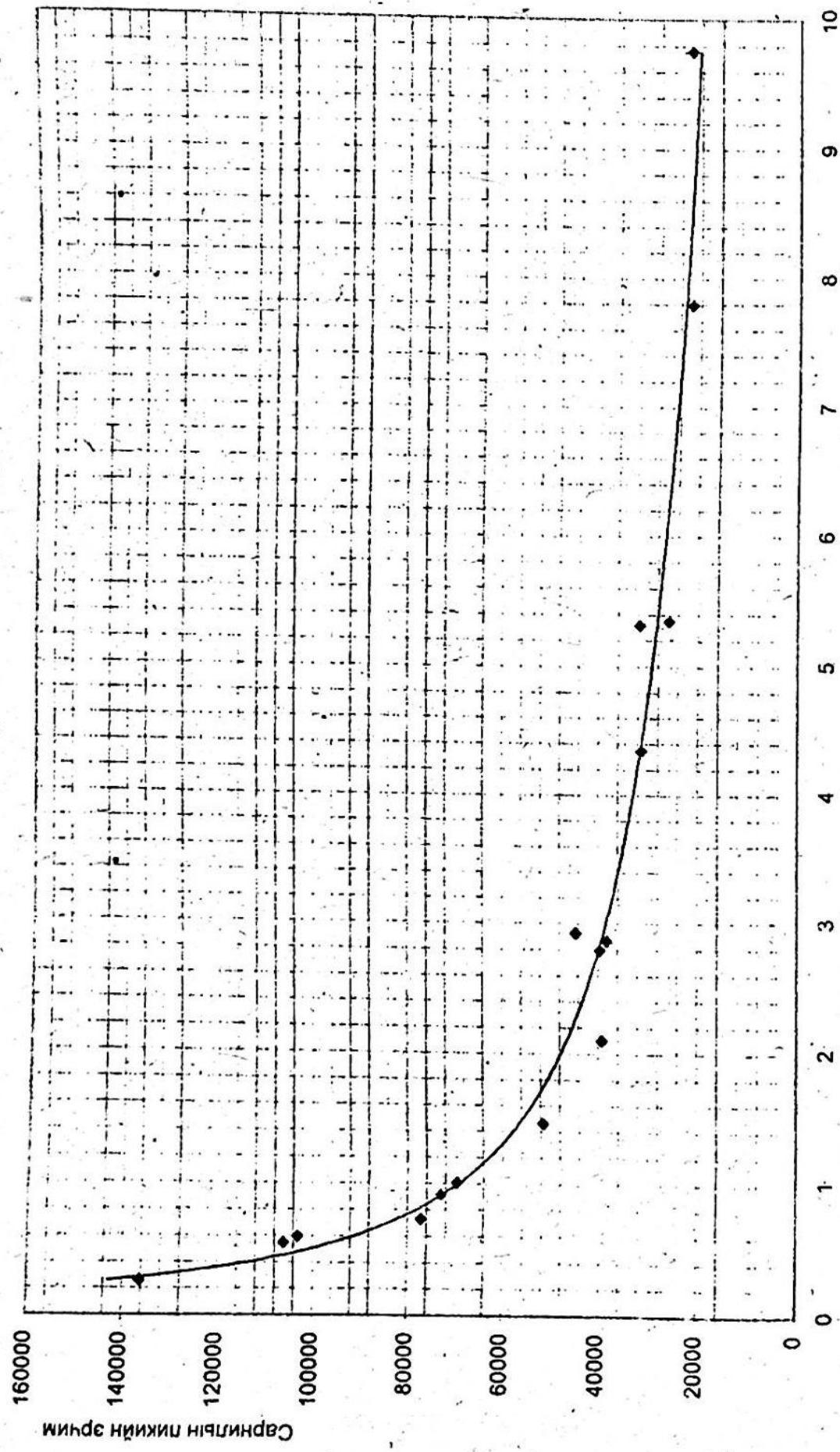
АШИГЛАСАН НОМ, ЗОХИОЛ

1. Gerald R.Lachance, Fernand Claise
Quantitative X-Ray analysis,
1994, New York, p. 63-83
2. Austin C.E, Steele T.W
The computer calculation, from fundamental parameters, of influence coefficients for X-Ray spectrometry,
Advanced X-Ray Analysis, 1975, Vol. 18, p. 362-371
3. Broll N
Fundamental Coefficient method applied to a Quasi-Monochromatic Excitation
X-Ray Spectrometry, 1990, Vol. 19, p. 193-195
4. Broll N, Gaussin P, Peter M
Matrix correction in X-Ray Flourescence Analysis by effective coefficient method
X-Ray Spectrometry, 1992, Vol. 21, p. 41-49
5. Feng L
A simple approach to multilayer thin film analysis based on theoretical calculations using Fundamental Parameters Method
Advanced X-Ray Analysis, 1993, Vol. 36, p. 279-286
6. Klimasara A.J
Automated Quantitative XRF Analysis software in Quality Control Applications
Advanced X-Ray Analysis, 1992, Vol.35, p. 111-116
7. McMaster W.H, Del Grande N.K, Mallett J.H and Hubbel J.H
Compilation of X-Ray Cross Sections,
1969, New York
8. Willis J.P
Mass Absorbtion Coefficient Determination using Compton Scattered Tube Radiotion: Applications, Limitation and Fitfalls
Advanced X-Ray Analysis, 1991, Vol. 34, p. 243-261

1-р зураг. Саркіллиң шугамын эрчмийн харыцаа, дээжийн дундаж атомын дугаараас хамаарал



Масс шингээлтийн коэффициент (cm^2/g)



2-р зураг. Когерент биш сарнилын эрчим, дээжийн нийт масс шингээлтийн коэффициентийн хамаарал

1.E+08

Bytress наадам

1.E+07

169

